

F 789 – Mecânica Quântica II

1º Semestre de 2023

12/04/2023

Aula 11

Aula passada

Teoria de Pauli:

- a) C.C.O.C. agora contém operadores de spin que agem num espaço “interno”:

$$\{X, Y, Z\} \rightarrow \{X, Y, Z, S^2, S_z\}$$

$$|\mathbf{r}\rangle \rightarrow |\mathbf{r}, s, m\rangle$$

$$\{P_x, P_y, P_z\} \rightarrow \{P_x, P_y, P_z, S^2, S_z\}$$

$$|\mathbf{p}\rangle \rightarrow |\mathbf{p}, s, m\rangle$$

$$m = -s, -s+1, \dots, s-1, s$$

- b) Para $s=1/2$, como o elétron: $s = 1/2 \rightarrow |\mathbf{r}, \varepsilon = \pm\rangle$ ou $|\mathbf{p}, \varepsilon = \pm\rangle$

- c) Ao momento angular de spin está associado um momento de dipolo magnético:

$$\mathbf{M} = 2 \frac{\mu_B}{\hbar} \mathbf{S}$$

Aula passada

1. Espaço de estados \mathcal{E}

$$X |\mathbf{r}, \varepsilon\rangle = x |\mathbf{r}, \varepsilon\rangle$$

$$Y |\mathbf{r}, \varepsilon\rangle = y |\mathbf{r}, \varepsilon\rangle$$

$$Z |\mathbf{r}, \varepsilon\rangle = z |\mathbf{r}, \varepsilon\rangle$$

$$S^2 |\mathbf{r}, \varepsilon\rangle = \frac{3}{4} \hbar^2 |\mathbf{r}, \varepsilon\rangle$$

$$S_z |\mathbf{r}, \varepsilon\rangle = \frac{\hbar}{2} \varepsilon |\mathbf{r}, \varepsilon\rangle$$

$$\langle \mathbf{r}', \varepsilon' | \mathbf{r}, \varepsilon \rangle = \delta_{\varepsilon, \varepsilon'} \delta^{(3)}(\mathbf{r} - \mathbf{r}') \quad (\text{ortonormalidade})$$

$$\sum_{\varepsilon} \int d^3 r |\mathbf{r}, \varepsilon\rangle \langle \mathbf{r}, \varepsilon| = \mathbb{1} \quad (\text{fechamento})$$

2. Representação $|\mathbf{r}, \varepsilon\rangle$

$$\langle \mathbf{r}, \varepsilon | \psi \rangle = \psi_{\varepsilon}(\mathbf{r}) \rightarrow [\psi](\mathbf{r}) = \begin{pmatrix} \psi_+(\mathbf{r}) \\ \psi_-(\mathbf{r}) \end{pmatrix}$$

Spinores

$$\langle \psi | \mathbf{r}, \varepsilon \rangle = \psi_{\varepsilon}^*(\mathbf{r}) \rightarrow [\psi]^{\dagger}(\mathbf{r}) = \begin{pmatrix} \psi_+^*(\mathbf{r}) & \psi_-^*(\mathbf{r}) \end{pmatrix}$$

Aula passada

Produto escalar:

$$\langle \psi | \varphi \rangle = \int d^3r \left[\psi_+^* (\mathbf{r}) \varphi_+ (\mathbf{r}) + \psi_-^* (\mathbf{r}) \varphi_- (\mathbf{r}) \right]$$
$$\langle \psi | \psi \rangle = \int d^3r \left[|\psi_+ (\mathbf{r})|^2 + |\psi_- (\mathbf{r})|^2 \right]$$

3. Operadores: levam spinores em spinores (linearmente)

$$[\psi'](\mathbf{r}) = [\![A]\!] [\psi](\mathbf{r})$$

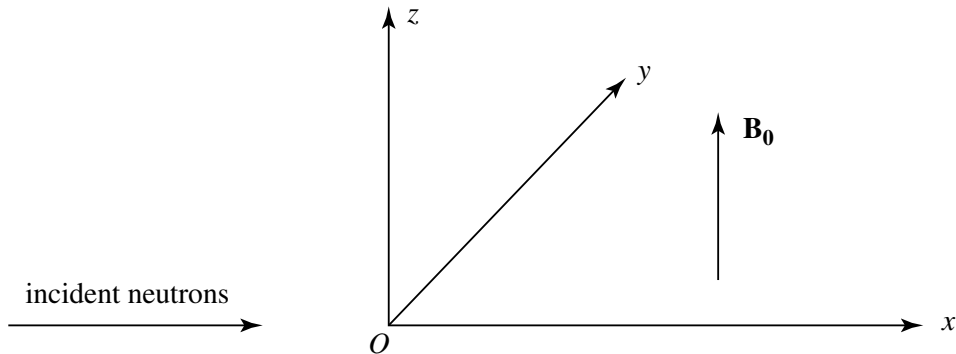
$[\![A]\!]$ tem tanto estrutura matricial (espaço de spin) quanto opera na parte orbital.

Exemplos:

$$[\![\mathbf{S}]\!] = \frac{\hbar}{2} \boldsymbol{\sigma} \quad [\![\mathbf{P}]\!] = \mathbb{1} \frac{\hbar}{i} \nabla$$

$$[\![\mathbf{S} \cdot \mathbf{P}]\!] = \frac{\hbar}{2} \frac{\hbar}{i} \begin{pmatrix} \frac{\partial}{\partial z} & \frac{\partial}{\partial x} - i \frac{\partial}{\partial y} \\ \frac{\partial}{\partial x} + i \frac{\partial}{\partial y} & - \frac{\partial}{\partial z} \end{pmatrix}$$

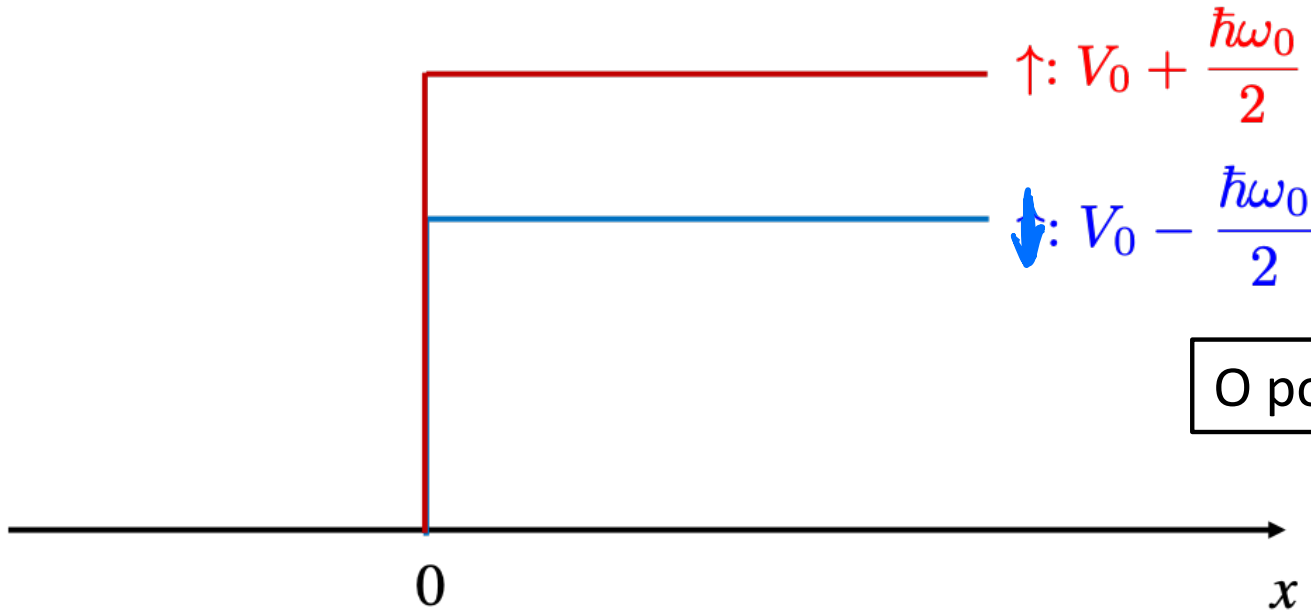
Exemplo: feixe de nêutrons incidente num ferromagneto



$$V(x) = \begin{cases} 0 & x < 0, \\ V_0 + \omega_0 S_z & x > 0. \end{cases}$$

$$\omega_0 = -\gamma B_0$$

$$\downarrow -\vec{n} \cdot \vec{B} = -\gamma B_0 S_z$$



O potencial depende do spin.

$$[\psi](x) = \begin{pmatrix} A_+ e^{ikx} + B_+ e^{-ikx} \\ A_- e^{ikx} + B_- e^{-ikx} \end{pmatrix} \quad k = \frac{\sqrt{2mE}}{\hbar} \quad (x < 0)$$

$$E = \frac{\hbar^2 k^2}{2m}$$

$$A e^{ikx} + B e^{-ikx}$$

a) $E > V_0 + \frac{\hbar\omega_0}{2}$

$$[\psi](x) = \begin{pmatrix} C_+ e^{ik'_+ x} \\ C_- e^{ik'_- x} \end{pmatrix} \quad (x > 0)$$

P: $\left[\frac{\hbar^2}{2m} \frac{d^2}{dx^2} + \left(V_0 + \frac{\hbar\omega_0}{2} \right) \right] \psi(x) = \frac{\hbar^2 k'^2}{2m} \psi(x) \Rightarrow k'_+ = \frac{\sqrt{2m(E - V_0 - \frac{\hbar\omega_0}{2})}}{\hbar}$

L: $\rightarrow k'_- = \frac{\sqrt{2m(E - V_0 + \frac{\hbar\omega_0}{2})}}{\hbar}$

$$b) E < V_0 - \frac{\hbar\omega_0}{2} \quad \therefore$$

$$[\psi](x) = \begin{cases} D_+ e^{-S_+ x} \\ D_- e^{-S_- x} \end{cases} \quad (x > 0) \quad S_{\pm} = \frac{\sqrt{2m(V_0 \pm \frac{\hbar\omega_0}{2} - E)}}{\hbar}$$

$$\rho : \left[-\frac{\hbar^2}{2m} \frac{d^2}{dx^2} + \left(V_0 + \frac{\hbar\omega_0}{2} \right) \right] \psi_+(x) = E \psi_+(x)$$

$$\frac{d^2}{dx^2} \psi_+(x) = \frac{2m}{\hbar^2} \underbrace{\left(V_0 + \frac{\hbar\omega_0}{2} - E \right)}_{> 0} \psi_+(x) \equiv S_+^2 \psi_+(x)$$

$$c) V_0 - \frac{\hbar\omega_0}{2} < E < V_0 + \frac{\hbar\omega_0}{2}$$

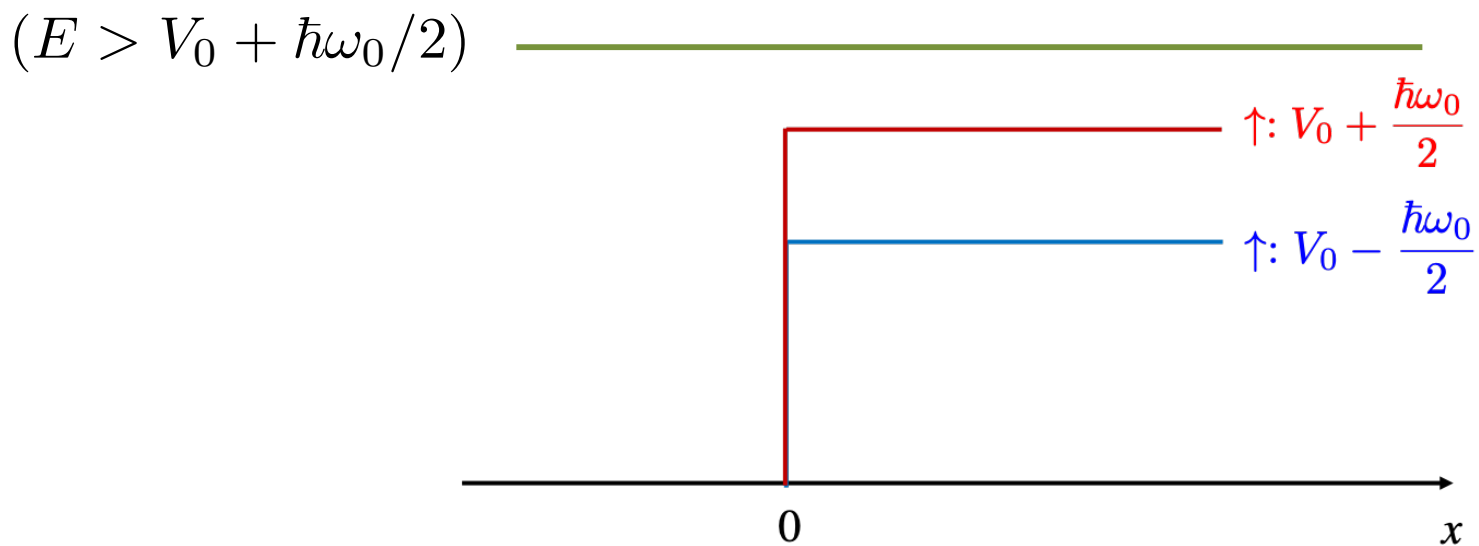
$$[\psi](x) = \begin{cases} D_+ e^{-S_+ x} \\ C_- e^{i k_- x} \end{cases} \quad (x > 0)$$

\Rightarrow PRÓXIMO PASSO: IMPOR EM $x=0$ A CONTINUIDADE

$$\text{DE } [\psi](x) \in \frac{d}{dx} [\psi](x)$$

CASO a)

$$[\psi](x) = \begin{pmatrix} A_+ e^{ikx} + B_+ e^{-ikx} \\ A_- e^{ikx} + B_- e^{-ikx} \end{pmatrix} \quad (x < 0)$$

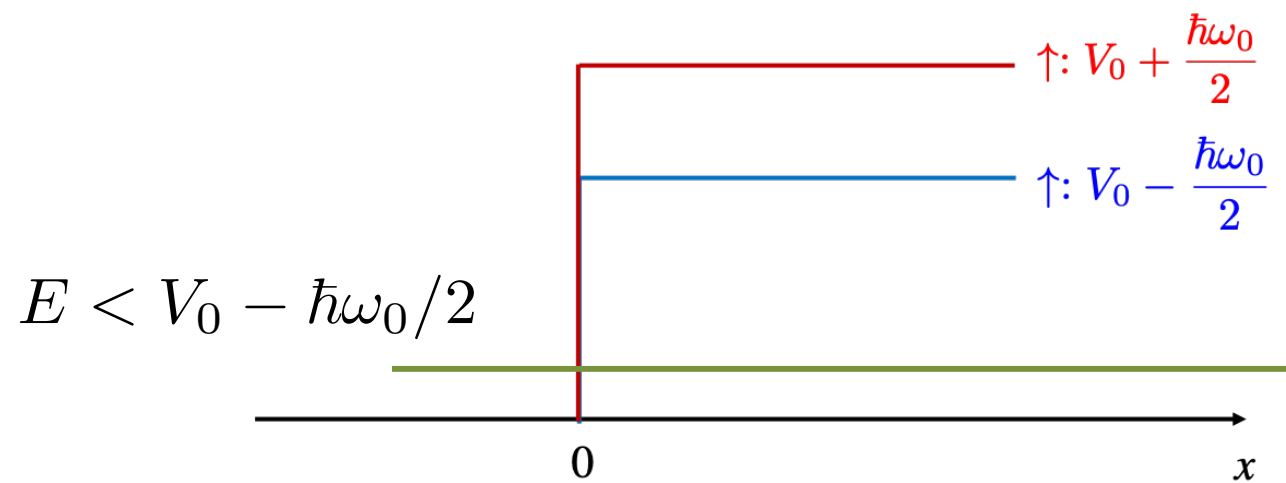


(a) $[\psi](x) = \begin{pmatrix} C_+ e^{ik'_+ x} \\ C_- e^{ik'_- x} \end{pmatrix} \quad (x > 0)$

$$k'_\pm = \frac{\sqrt{2m(E - V_0 \mp \hbar\omega_0/2)}}{\hbar}$$

CASO b)

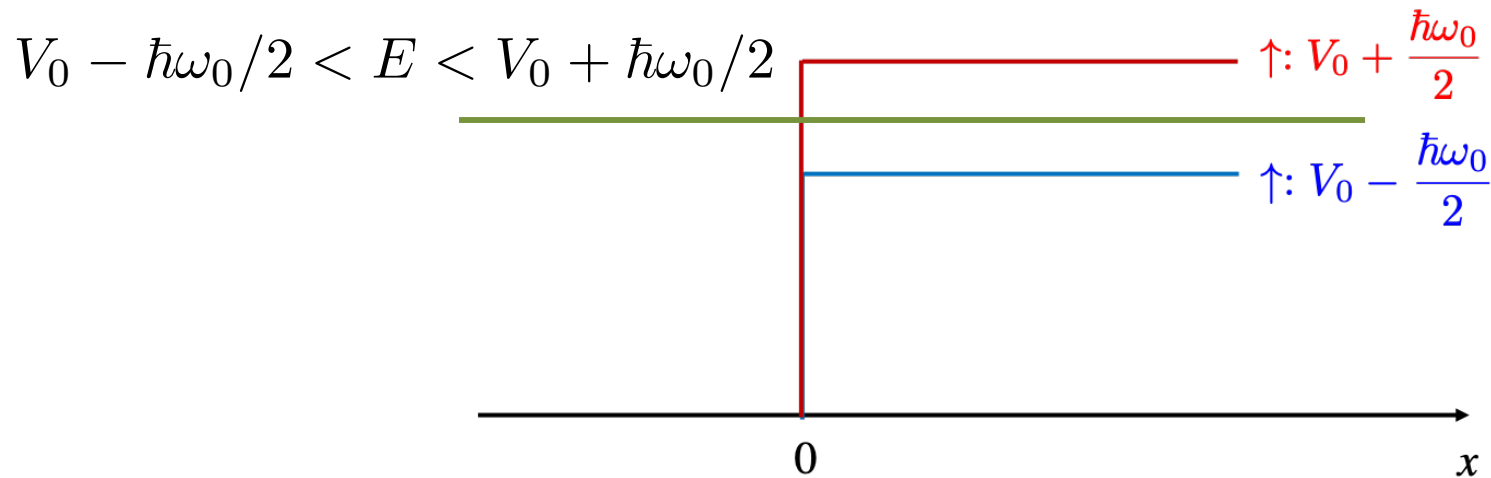
$$[\psi](x) = \begin{pmatrix} A_+ e^{ikx} + B_+ e^{-ikx} \\ A_- e^{ikx} + B_- e^{-ikx} \end{pmatrix} \quad (x < 0)$$



$$(b) [\psi](x) = \begin{pmatrix} D_+ e^{-\rho'_+ x} \\ D_- e^{-\rho'_- x} \end{pmatrix} \quad (x > 0) \quad \rho_{\pm} = \frac{\sqrt{2m(V_0 \pm \hbar\omega_0/2 - E)}}{\hbar}$$

CASO C)

$$[\psi](x) = \begin{pmatrix} A_+ e^{ikx} + B_+ e^{-ikx} \\ A_- e^{ikx} + B_- e^{-ikx} \end{pmatrix} \quad (x < 0)$$



(c) $[\psi](x) = \begin{pmatrix} D_+ e^{-\rho'_+ x} \\ C_- e^{ik'_- x} \end{pmatrix} \quad (x > 0)$

Resultado de “casar” as funções de onda

→ COEF. REFLEXÃO *→ COEF. TRANSMISSÃO ($\propto \frac{k'_\pm}{k}$)*

Caso (a):
$$\frac{B_\pm}{A_\pm} = \frac{k - k'_\pm}{k + k'_\pm}, \quad \frac{C_\pm}{A_\pm} = \frac{2k}{k + k'_\pm}$$

Caso (b):
$$\frac{B_\pm}{A_\pm} = \frac{k - i\rho_\pm}{k + i\rho_\pm}, \quad \frac{D_\pm}{A_\pm} = \frac{2k}{k + i\rho_\pm}$$

Caso (c):
$$\frac{B_+}{A_+} = \frac{k - i\rho_+}{k + i\rho_+}, \quad \frac{D_+}{A_+} = \frac{2k}{k + i\rho_+}$$

$$\frac{B_-}{A_-} = \frac{k - k'_-}{k + k'_-}, \quad \frac{C_-}{A_-} = \frac{2k}{k + k'_-}$$

OLHANDO APENAS O COEF. DE REFLEXÃO DO CASO (c)

$$R_+ = \left| \frac{B_+}{A_+} \right|^2 = \left| \frac{k - i\beta_+}{k + i\beta_+} \right|^2 = \frac{|k - i\beta_+|^2}{|k + i\beta_+|^2} = 1$$

$$R_- = \left| \frac{B_-}{A_-} \right|^2 = \left| \frac{k - k'_-}{k + k'_-} \right|^2 < 1$$

⇒ REFLEXÃO TOTAL DAS NEUTRONS COM SPIN \uparrow
" PARCIAL " " " " " " " \downarrow

Polarização do feixe refletido

Suponha que o feixe incidente é não polarizado: o elétron tem probabilidade $\frac{1}{2}$ de ser up e $\frac{1}{2}$ de ser down. Qual é a polarização do feixe refletido?

FEIXE INCIDENTE NÃO POLARIZADO: $N_+ = N_- = \text{NÚMERO DE NEUTRONS INCIDENTES}$

FEIXE REFLETIDO.

$$N_+^R = R_+ N_+ = N_+ \quad N_-^R = R_- N_- < N_-$$

POLARIZAÇÃO: $P = \frac{N_+ - N_-}{N_+ + N_-} \quad ; \quad P_{\text{inc}} = 0$

$$P_{\text{REF}} = \frac{N_+^R - N_-^R}{N_+^R + N_-^R} = \frac{N_+ - R_- N_-}{N_+ + R_- N_-} \stackrel{N_+ = N_-}{=} \frac{1 - R_-}{1 + R_+}$$

UM NÉUTRON COM SPIN NA DIREÇÃO X:

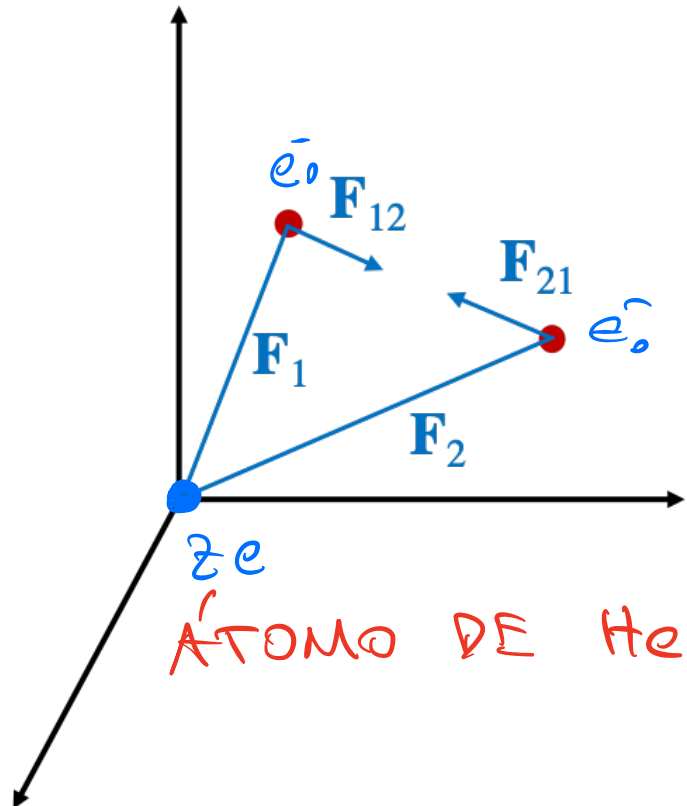
$$|+\rangle_x = \frac{1}{\sqrt{2}} [|+\rangle + |-\rangle]$$

O QUE ACONTECE COM OS FEIXES
REFLETIDOS E TRANSMITIDOS?

O SPIN MÉDIO GIRA DE DIREÇÃO
DEPENDENDO DA ENERGIA DO FEIXE INCIDENTE.

Adição de momentos angulares

O problema



2 momentos angulares: não há conservação separada de cada um deles, mas o **momento angular total** é conservado. *COMO UM ÁTOMO DE 2 e⁻'S*

$$T_n = T_1 + T_2 + T_{n-2}$$

$$H_1 = \frac{\vec{p}_1^2}{2m} + V(\vec{R}_1)$$

$$H_2 = \frac{\vec{p}_2^2}{2m} + V(\vec{R}_2)$$

$$V(R) = -\frac{ze^2}{R}$$

$$H_{12} = \omega (|\vec{R}_1 - \vec{R}_2|) = \frac{e^2}{|\vec{R}_1 - \vec{R}_2|}$$

JÁ VIMOS QUE:

$$[H_2, \vec{L}_2] = [H_2, \overset{\leftarrow}{L}_2] = 0$$

ONDE

$\vec{L}_{1,2}$ = MOMENTO ANGULAR ORBITAL DO ÓSCULO 1,2

CLARO QUE: $[H_1, \vec{L}_2] = 0 = [H_2, \vec{L}_1]$

$$\Rightarrow [H_1, \vec{L}_2 + \vec{L}_1] = 0 \quad \text{E} \quad [H_2, \vec{L}_1 + \vec{L}_2] = 0$$

ENTRETANTO: $[H_{22}, \vec{L}_2] \neq 0 \quad \text{E} \quad [H_{22}, \vec{L}_1] \neq 0$

MAS, COMO VEREMOS, $[H_{22}, \vec{L}_1 + \vec{L}_2] = 0$!

PROVA:

$$[L_{23}, H_{22}] = [(X_1 P_{2y} - Y_1 P_{1x}), \partial(\vec{R}_1 - \vec{R}_2)] = (*)$$

ABRINDO O COMUTADOR:

$$(*) = \frac{\hbar}{i} \left(X_1 \frac{\partial \phi}{\partial y_2} - Y_1 \frac{\partial \phi}{\partial x_1} \right) \neq 0$$

$$[L_{23}, H_{22}] = \frac{\hbar}{i} \left(X_2 \frac{\partial \phi}{\partial y_2} - Y_2 \frac{\partial \phi}{\partial x_2} \right) \neq 0$$

$$[x p_x, f(x)] \psi(x) = \frac{1}{i} \left[x \frac{\partial}{\partial x} (f \psi) - f x \frac{\partial}{\partial x} (\psi) \right]$$

$$\downarrow$$

$$\frac{1}{i} x \frac{\partial}{\partial x}$$

$$= \frac{1}{i} \left[x f' \psi + x f \cancel{\psi'} - f x \cancel{\psi'} \right]$$

$$= \frac{1}{i} \left[x \frac{\partial f}{\partial x} \right] \psi$$

J

$$x_1 \frac{\partial \alpha}{\partial y_2} + x_2 \frac{\partial \alpha}{\partial y_1} = \left[\frac{x_1(y_1 - y_2)}{\gamma^{1/2}} + \frac{x_2(y_1 - y_2)}{\gamma^{1/2}} \right] \alpha'$$

$$\frac{\partial \alpha}{\partial y_2} = \frac{\partial}{\partial y_2} \alpha(1 \vec{r}_2 - \vec{r}_1) = \frac{\partial}{\partial y_2} \alpha \left([(x_2 - x_1)^2 + (y_1 - y_2)^2 + (z_1 - z_2)^2]^{1/2} \right)$$

$$= \alpha' \frac{(y_1 - y_2)(-1)}{\gamma^{1/2}}$$

$$\frac{\partial \alpha}{\partial y_1} = \alpha' \frac{(y_1 - y_2)}{\gamma^{1/2}}$$

$$x_2 \frac{\partial \alpha}{\partial y_2} - y_2 \frac{\partial \alpha}{\partial x_2} = \frac{v'}{\sum j^{1/2}} [x_2(y_2 - y_1) - y_2(x_2 - x_1)]$$

AS FINAL:

$$[L_1 g + L_2 g, H_{12}] = \frac{1}{j} \cdot \frac{v'}{\sum j^{1/2}} \cdot [x_1(\underline{y_1} - \underline{y_2}) - y_1(\underline{x_1} - \underline{x_2}) + x_2(\underline{y_2} - \underline{y_1}) - y_2(\underline{x_2} - \underline{x_1})] = 0$$

ANALOGAMENTE PARA $L_1 x + L_2 x \in L_1 y + L_2 y$

$$\Rightarrow [\overrightarrow{L}_1 + \overrightarrow{L}_2, H_{12}] = 0$$

$$[\overrightarrow{L}_1 + \overrightarrow{L}_2, H] = 0$$